



VI МЕЖДУНАРОДНЫЙ НАУЧНО-ПРАКТИЧЕСКИЙ СЕМИНАР

ПОВЫШЕНИЕ НАДЕЖНОСТИ МАГИСТРАЛЬНЫХ
ГАЗОПРОВОДОВ, ПОДВЕРЖЕННЫХ
КОРРОЗИОННОМУ РАСТРЕСКИВАНИЮ
ПОД НАПРЯЖЕНИЕМ

17–21 октября 2022 г.
г. Кисловодск





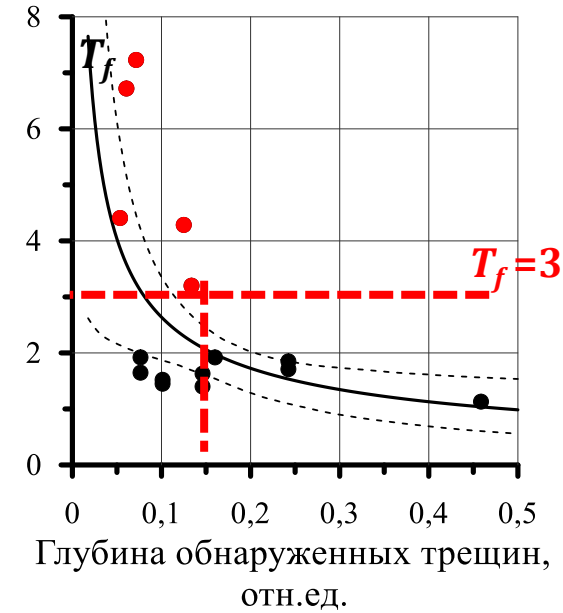
НЕОДНОРОДНОСТЬ КРИСТАЛЛОГРАФИЧЕСКОЙ ТЕКСТУРЫ И ОСТАТОЧНЫХ НАПРЯЖЕНИЙ ПО ТОЛЩИНЕ СТЕНКИ ТРУБ МАГИСТРАЛЬНЫХ ГАЗОПРОВОДОВ ИЗ СТАЛЕЙ РАЗЛИЧНЫХ КАТЕГОРИЙ ПРОЧНОСТИ И ЕЕ ВЛИЯНИЕ НА СКЛОННОСТЬ К КРН

О.А.Крымская, М.Г.Исаенкова, Р.А.Минушкин, Джумаев П.С.
НИЯУ МИФИ



Цель работы:

обобщение данных по неоднородности кристаллографической текстуры и остаточных напряжений в трубах из сталей категории прочности X70 различной номенклатуры, а также сравнение параметров с трубами X80

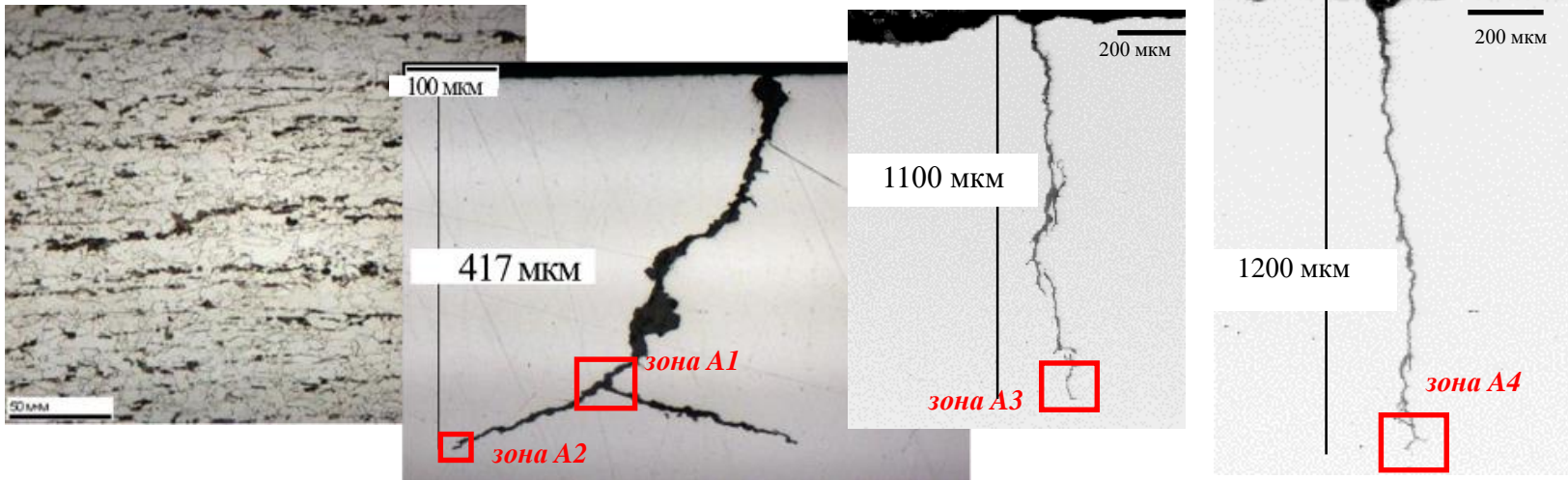


1. Perlovich Yu. A., Ryakhovskikh I. V., Isaenkova M. G., Krymskaya O. A., Morozov N. S., Dzhumaev P. S. // KnE Materials Science, 2018. – pp.179–186.
DOI 10.18502/kms.v4i1.214.

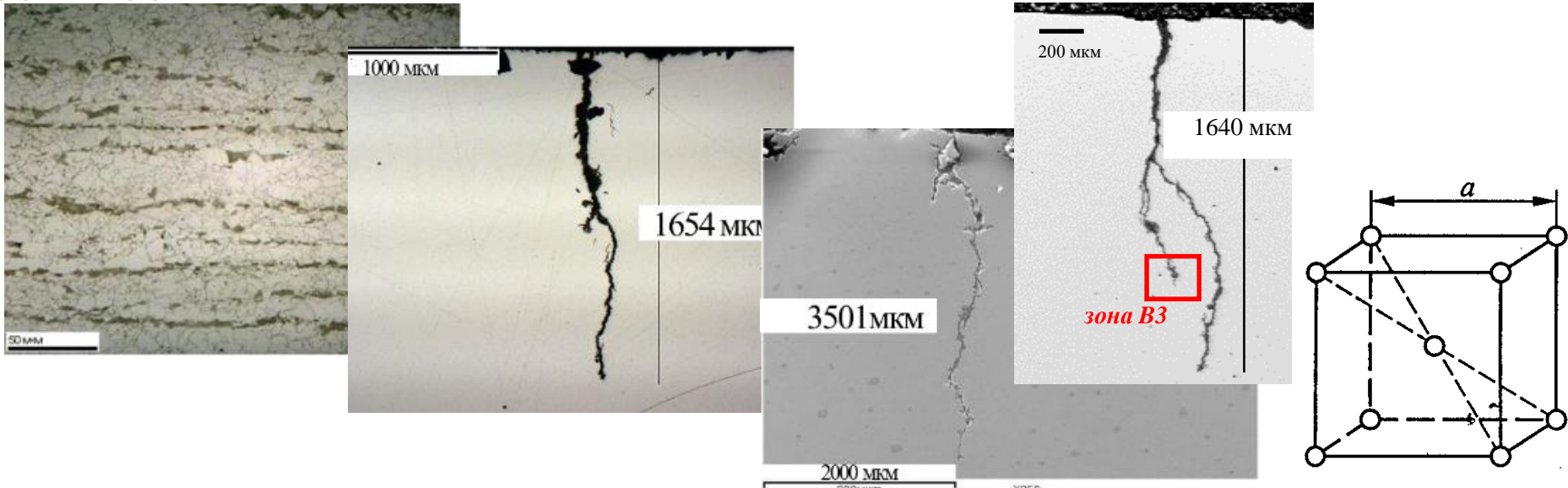
2. Крымская О.А., Исаенкова М.Г., Морозов Н.С., Минушкин Р.А., Джумаев П.С. // НТС Вести газовой науки, 2022. – № 1 (49). – с. 31-46.
и др.

Характер распространения трещин в различных трубах

Трубы группы А

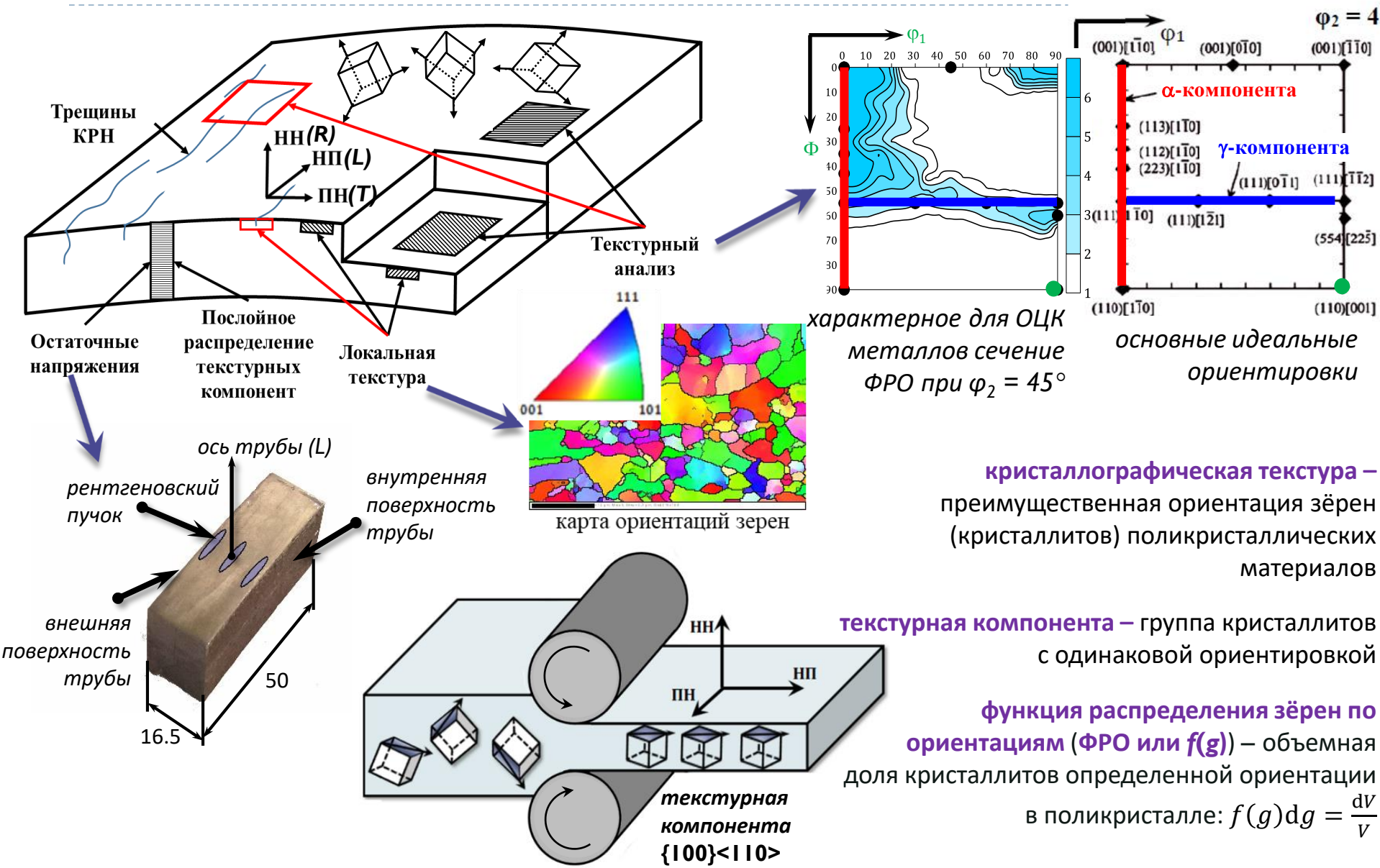


Трубы группы В



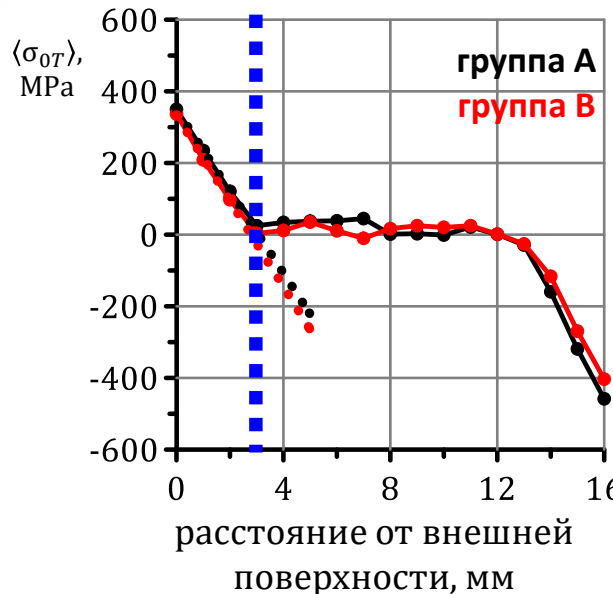
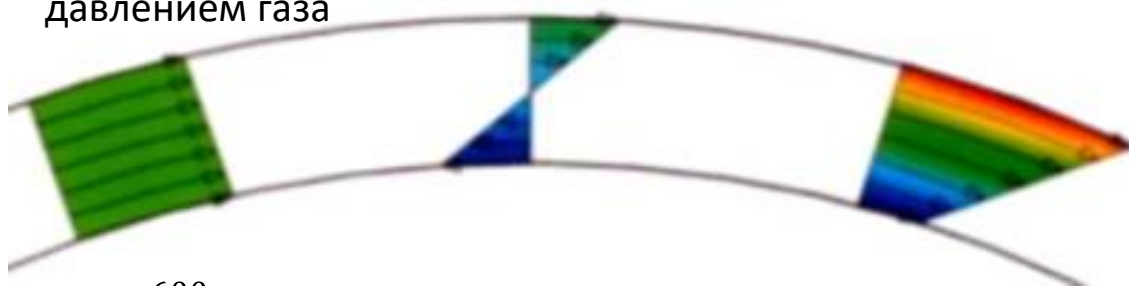


Образцы и методы исследования



Остаточные тангенциальные макронапряжения

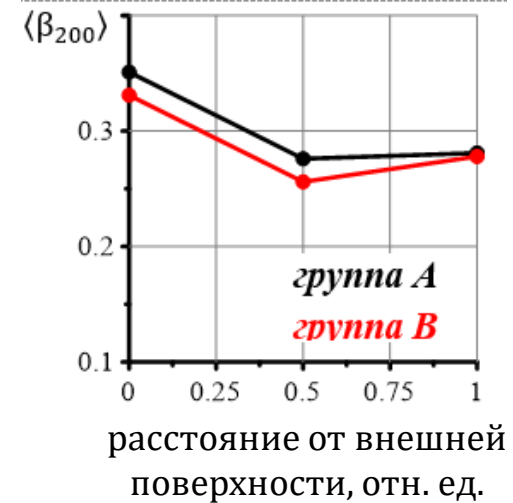
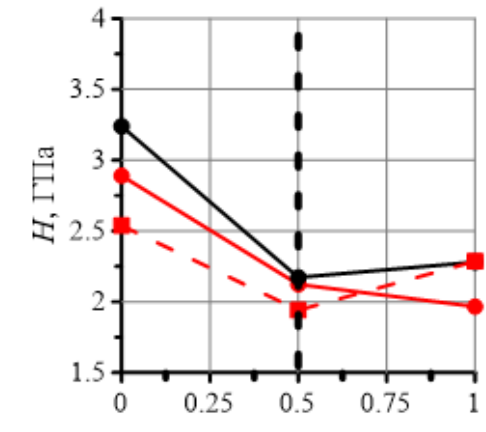
Окружные
(тангенциальные) + Остаточные
напряжения, вызванные давлением газа = Общее напряженное состояние



$$\sigma_0 = -109 \cdot t + 342$$

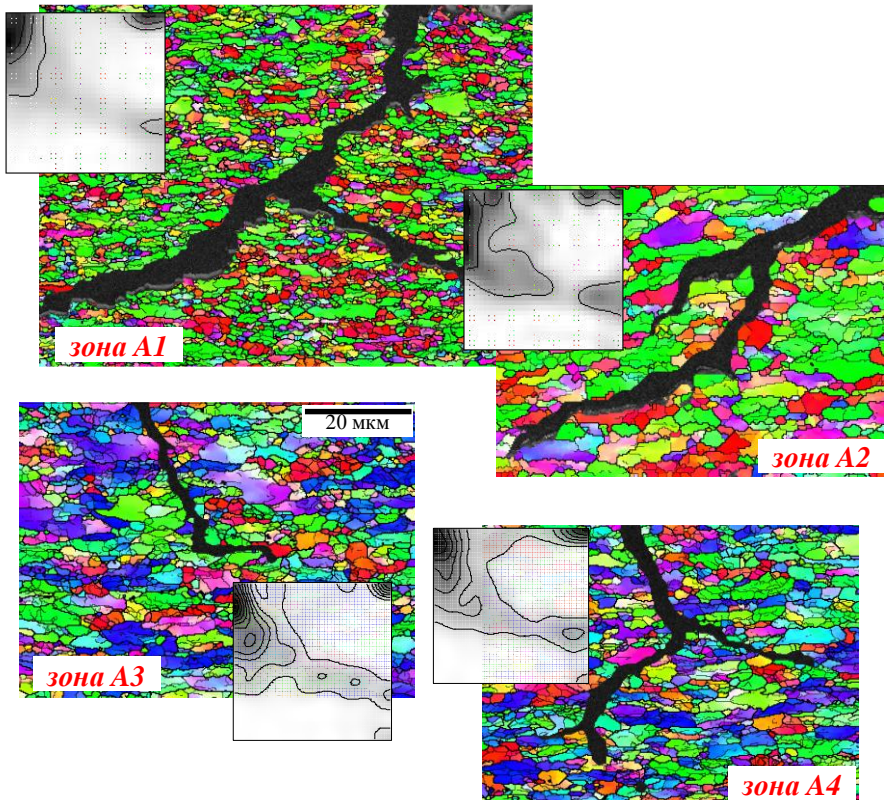
$$\sigma_0 = -111 \cdot t + 328$$

t - толщина стенки трубы в относительных единицах
 σ - суммарные напряжения
 σ_ϑ - напряжения, создаваемые давлением газа
 σ_0 - напряжения на поверхности

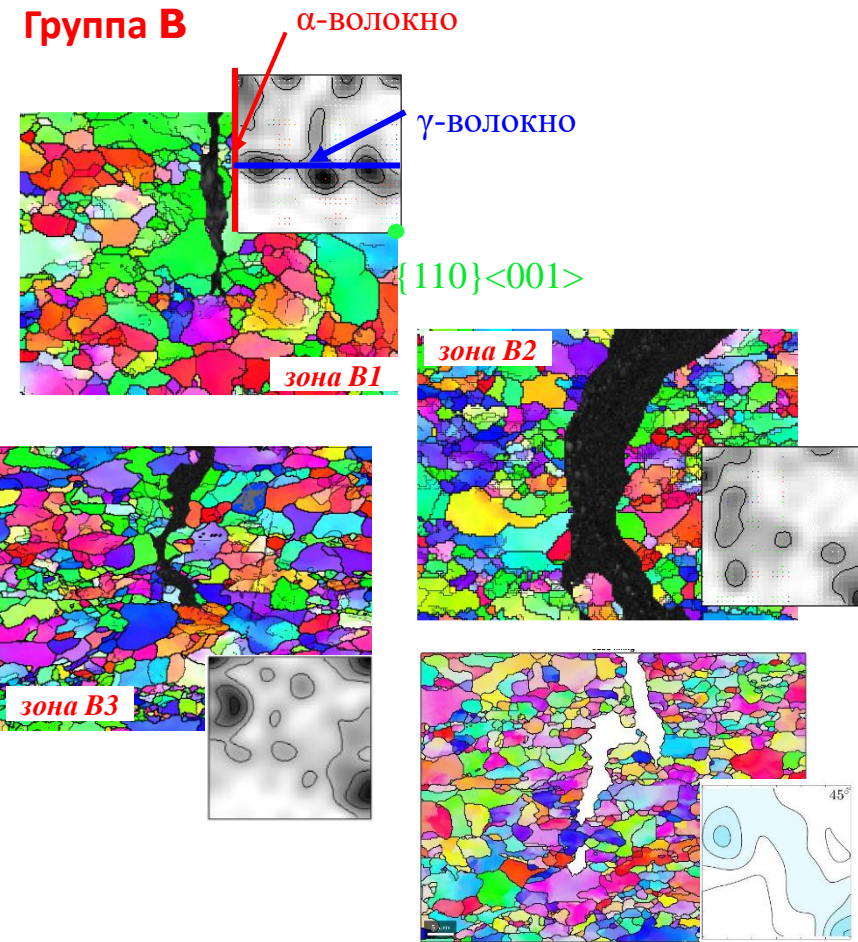


Анализ локальных текстур вблизи трещин

Группа А



Группа В



В области с преобладанием компоненты {110} $<001>$ трещина свободно распространяется в то время, как наличие γ -волокна приводит к ее остановке, а на участках с преобладанием компонент α -волокна трещины, разветвляются на определенном этапе, что замедляет их рост.

Факторы Тейлора для модельных компонент

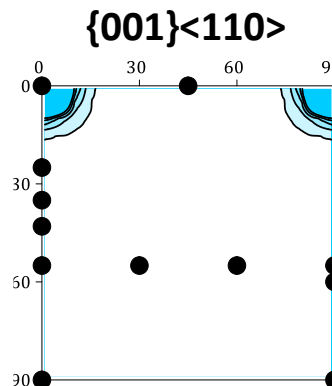
Ориентационный фактор Тейлора (M) используется для оценки склонности материала к пластической деформации в зависимости от его кристаллографической текстуры. Он показывает насколько «жестче/мягче» компонента по отношению к приложенному тензору деформаций, т.е. в каких группах зерен пластическая деформация начнется раньше при достижении напряжений, сопоставимых с пределом текучести

Системы скольжения в ОЦК-металлах:

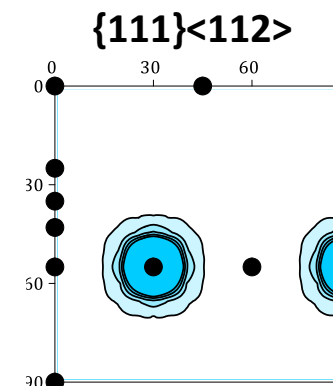
- $\{110\}<111>$
- $\{112\}<111>$
- $\{123\}<111>$

Тензор напряжений

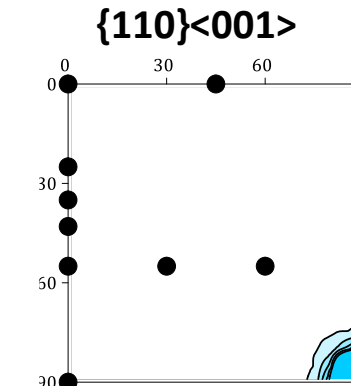
$$\sigma_T \neq 0, \sigma_R = \sigma_L = 0$$



$$M=2.79$$



$$M=2.79$$



$$M=2.79$$

$$\sigma_L = 0.5\sigma_T, \sigma_R = 0$$

$$M=3.58$$

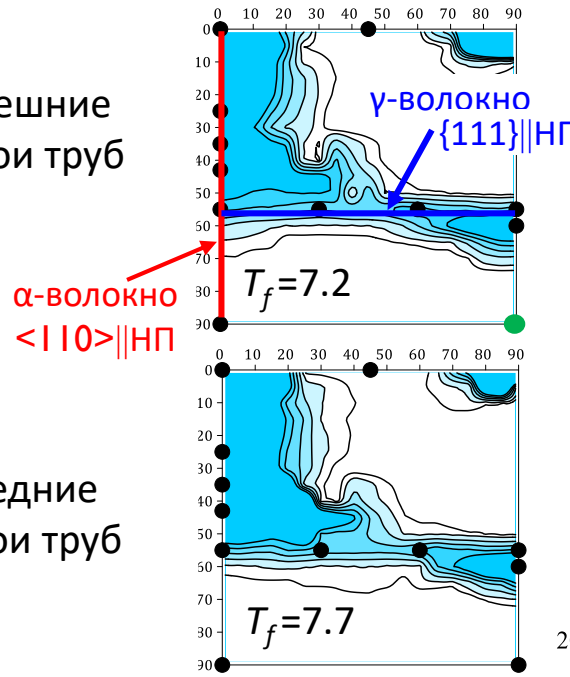
$$M=3.76$$

$$M=3.82$$



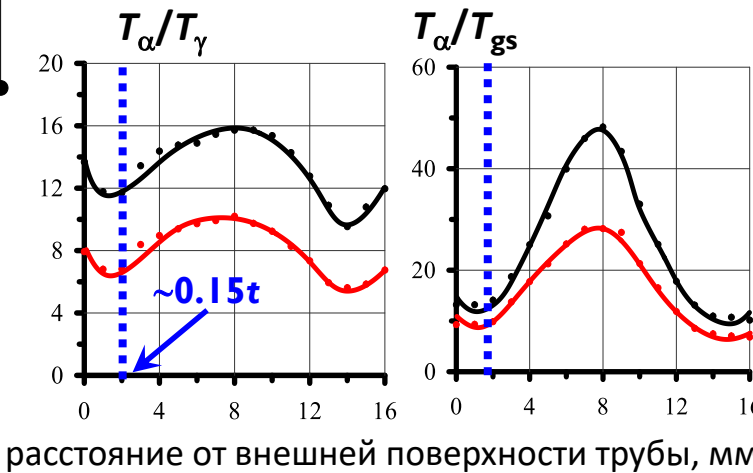
Различие характера послойной текстурной неоднородности труб МГ

внешние
слои труб

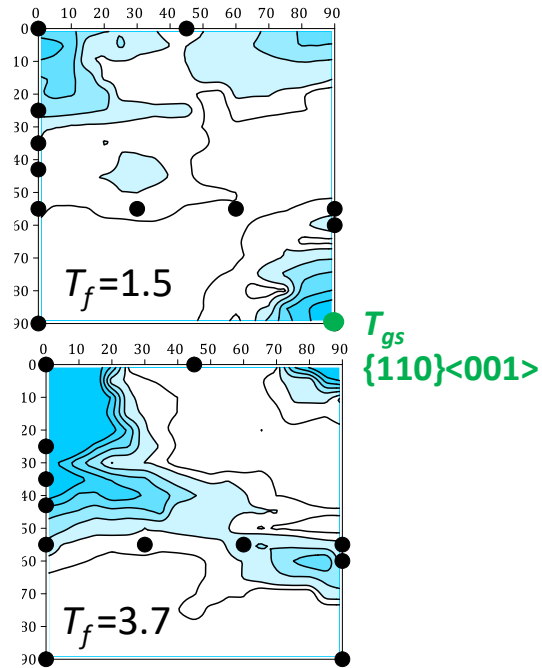


средние
слои труб

- Количественные параметры текстуры:
- степень «остроты» текстуры $T_f = \int f(g)^2 dg$
 - соотношения объемных долей текстурных компонент T_α / T_γ и T_α / T_{gs}
 - разориентация зерен



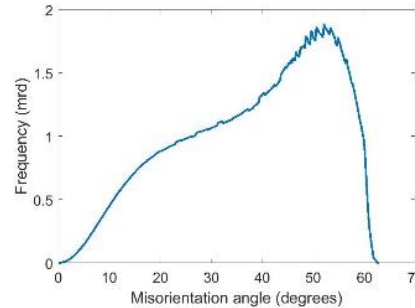
Группа В



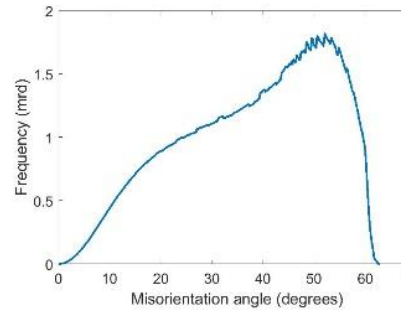
группа А
группа В

Различие характера послойной текстурной неоднородности труб МГ

внешние
слои труб

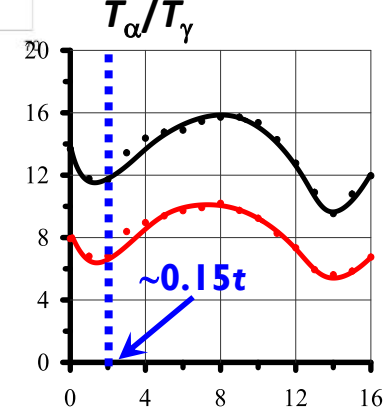


средние
слои труб

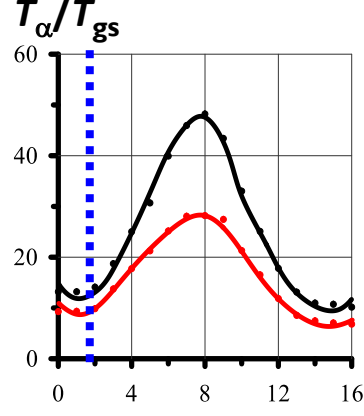


Относительная
плотность
разориентации
зерен

T_α/T_γ

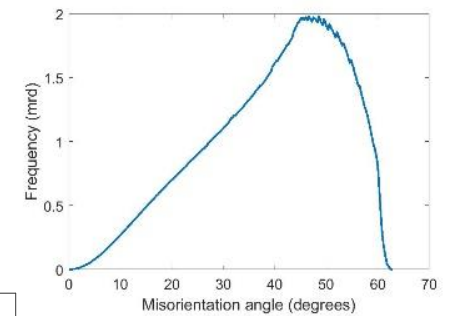
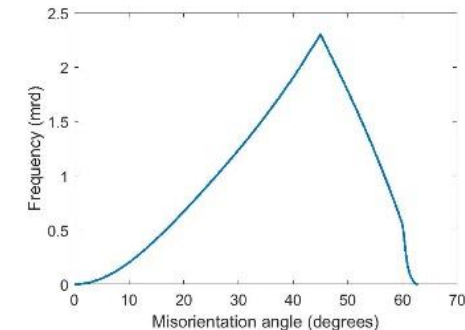


T_α/T_{gs}



расстояние от внешней поверхности трубы, мм

Группа В

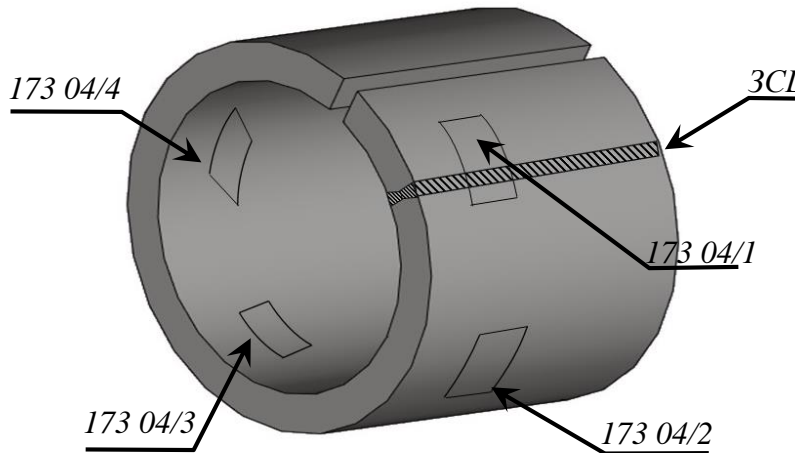


группа А
группа В





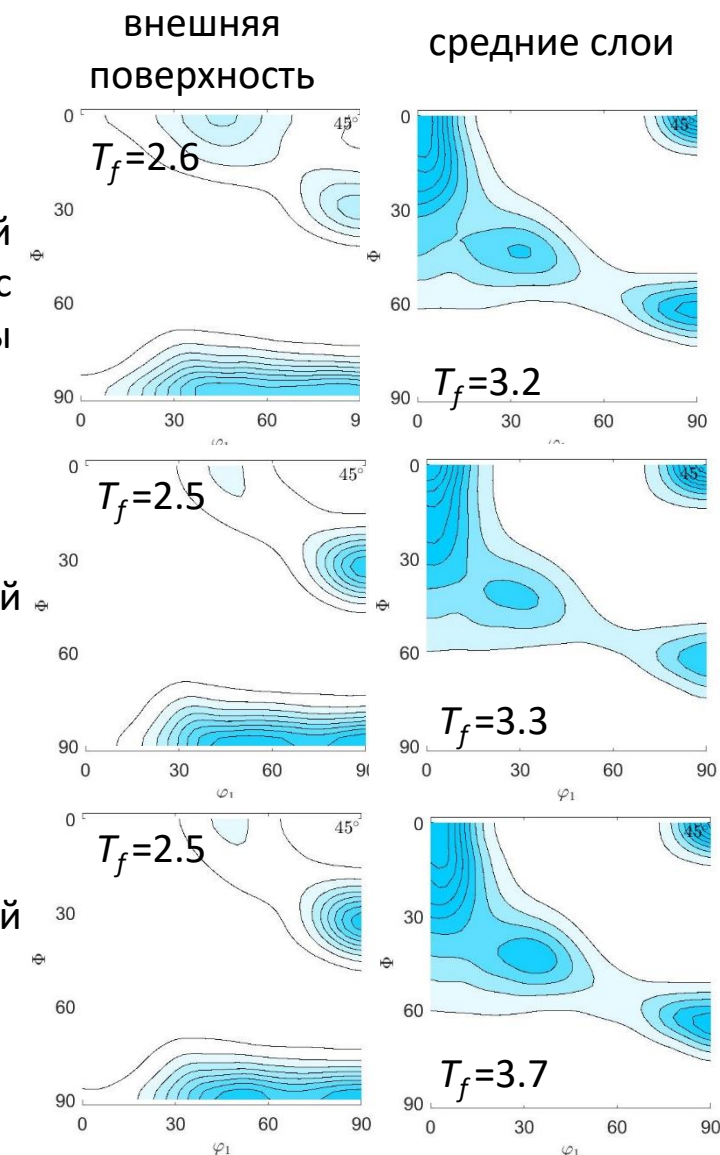
Исследование труб из стали Х80



минимальный
радиус
кривизны

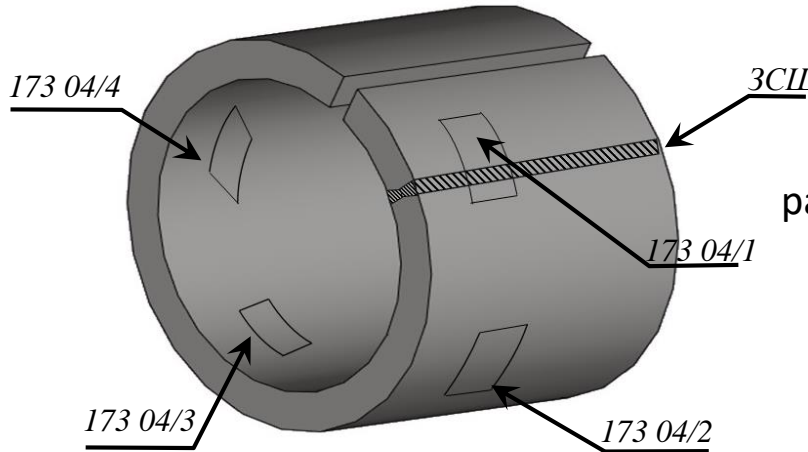
номинальный

максимальный

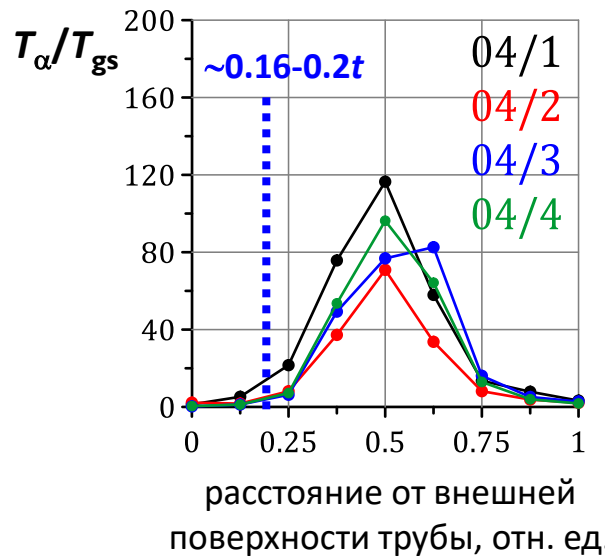




Исследование труб из стали X80

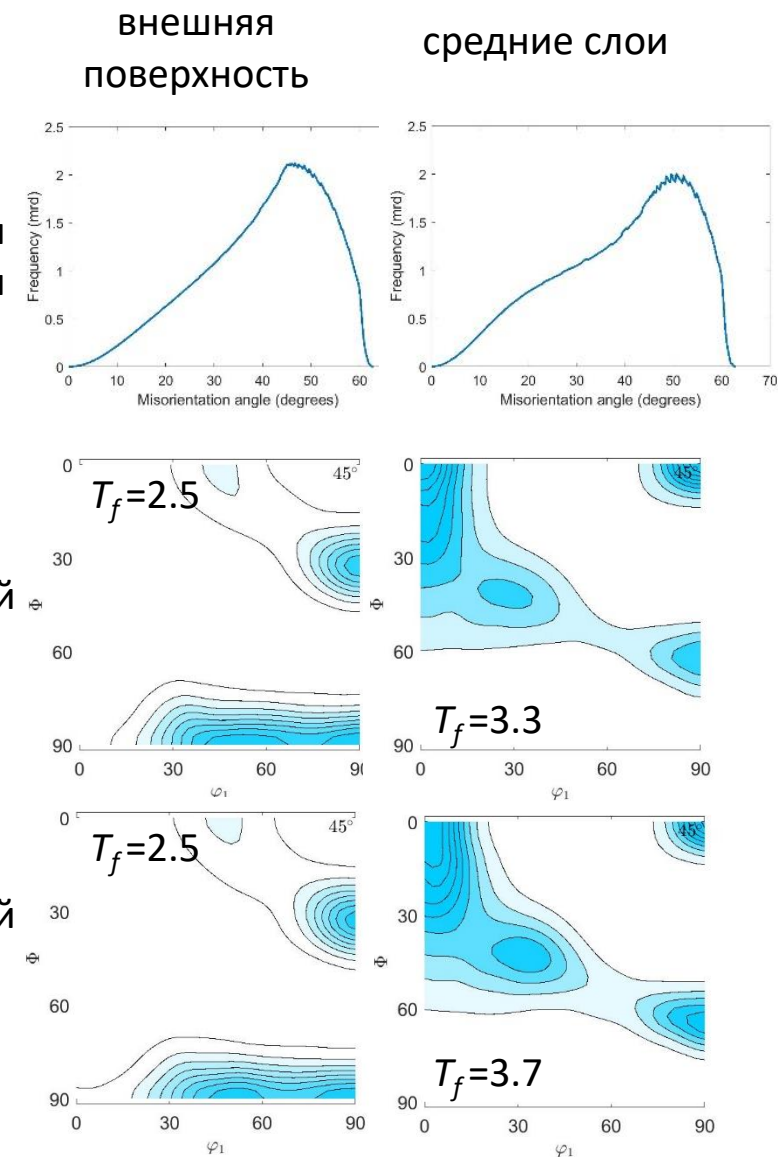


углы
разориентации



номинальный

максимальный



Сравнение с другими типами труб

Группа А
 $\varnothing 1420 \times 16.5$

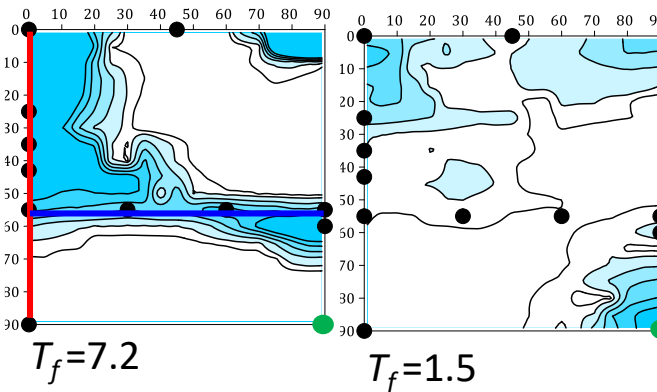
Группа В
 $\varnothing 1420 \times 16.5$

Двухшовная
 $\varnothing 1420 \times 15.7$

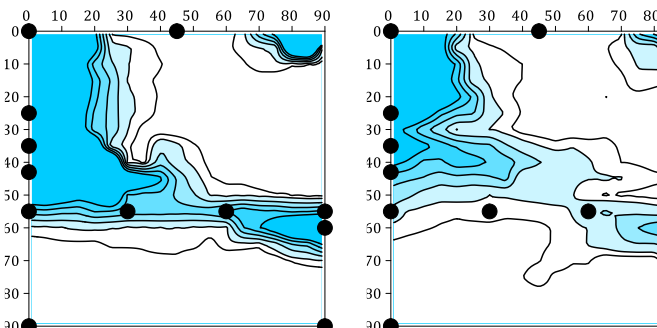
Двухшовная
 $\varnothing 1220 \times 14.5$

Сpirальношовная
 $\varnothing 1020 \times 9.0$

внешние слои труб

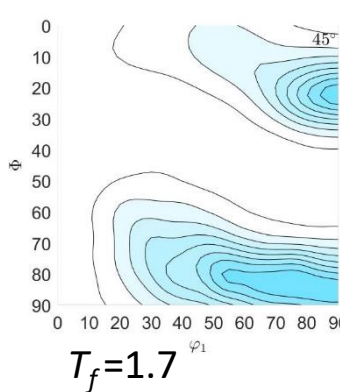


средние слои труб

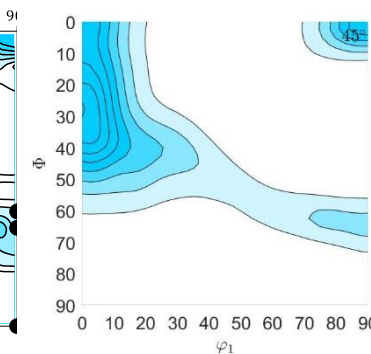


$$T_f = 7.2$$

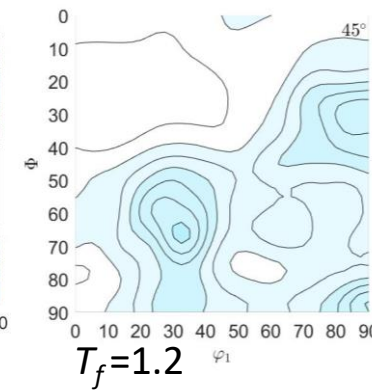
$$T_f = 1.5$$



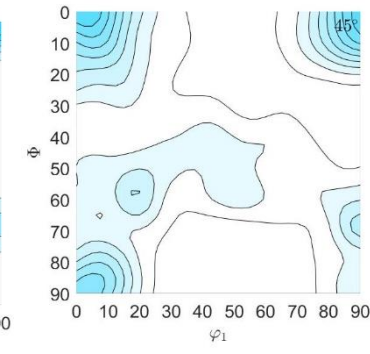
$$T_f = 1.7$$



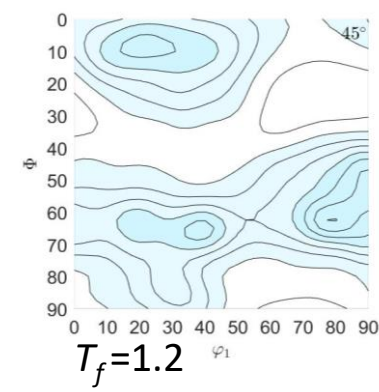
$$T_f = 1.2$$



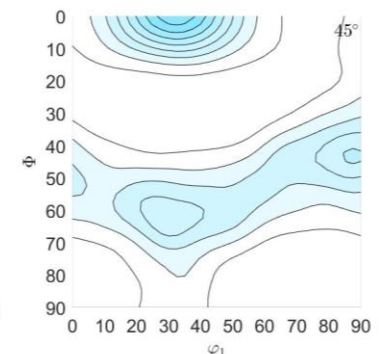
$$T_f = 1.2$$



$$T_f = 1.3$$

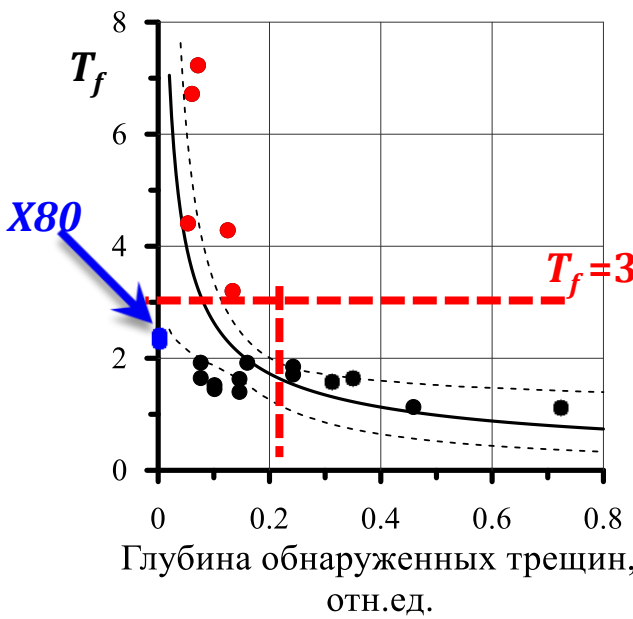


$$T_f = 1.3$$

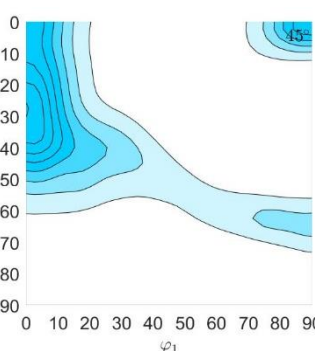
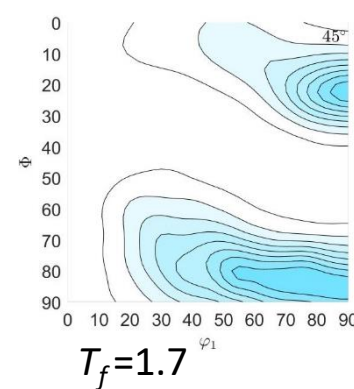


$$T_f = 1.3$$

Сравнение с другими типами труб

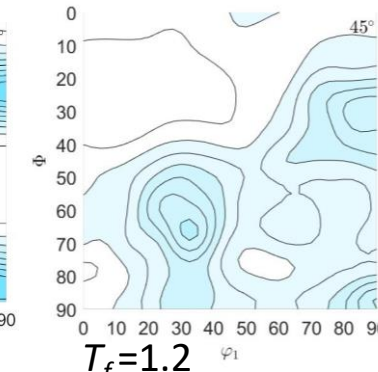


Двухшовная
 $\varnothing 1420 \times 15.7$



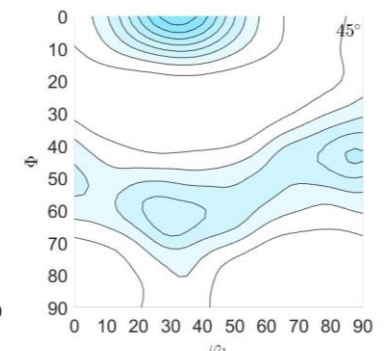
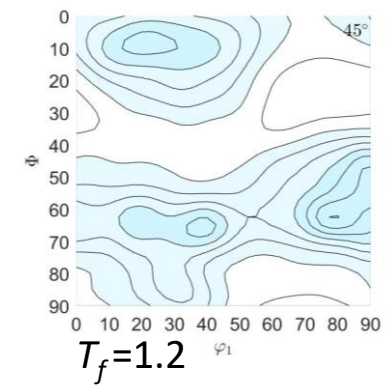
$T_f = 3.4$

Двухшовная
 $\varnothing 1220 \times 14.5$



$T_f = 1.3$

Сpirальношовная
 $\varnothing 1020 \times 9.0$



Заключение

- Установлено, что текстура поверхностных слоев труб из стали X80 отличается от ранее исследованных труб X70 преобладанием компонент $\{112\}<111>$ и $\{110\}<001-112>$, при этом степень остроты текстуры T_f во внешних слоях этих труб ниже 3.
- Послойные распределения соотношений различных компонент текстуры по толщине стенки труб из стали X80 показывают, что по сравнению с ранее исследованными трубами X70 толщина слоя резкого изменения текстуры отличается незначительно, однако, характер изменения параметров более резкий, а величина T_α/T_{gs} в центральных слоях достигает значений не менее 80, тогда как в трубах X70 она не превышала 50. Это является фактором, препятствующим продвижению транскристаллитных трещин, для которых требуются более высокие растягивающие напряжения. Наряду с более низким уровнем остаточных окружных напряжений на внешней поверхности исследованных труб по сравнению с трубами X70. Таким образом трубы из стали X80 должны обладать более высокой стойкостью против 2й стадии КРН, что необходимо подтвердить коррозионными испытаниями.
- На основе анализа труб из стали X70 других типоразмеров и распределения разорентаций подтверждены ранее установленные механизмы развития/стабилизации трещин КРН:
 - транскристаллитным трещинам препятствует резкая переориентация зерен на их пути – КРН-трещины при этом замедляют свой рост;
 - движение интеркристаллитных трещин активируется при усилении взаимной разориентации зерен в области распространения трещин.

Результаты сотрудничества

- Защита в НИЯУ МИФИ шести дипломов бакалавриата и специалитета в период с 2016 по 2020 гг.)
- Защита в 2022 г. выпускной аспирантской работы и диссертации на соискание ученой степени кандидата технических наук по специальности «физика конденсированного состояния»
- 8 докладов на международных конференциях и семинарах, 7 статей, в том числе в журналах ВАК/Scopus

HTC Вести газовой науки, 2022. – № 1 (49). – с. 31-46.

KnE Materials Science, 2018. pp.179–186. DOI 10.18502/kms.v4i1.214

Materials Science Forum, 2017. – Vol. 879. – pp. 1025-1030 DOI
10.4028/www.scientific.net/MSF.879.1025)

Вести газовой науки, 2016. -№3(27), с. 23-29

IOP Conf. Series: Materials Science and Engineering, 2016. – Vol. 130. – p. 012009.

AIP Conference Proceedings, 2016. -1769. -130011. –pp. 1-5.

Коррозия Территории нефтегаз, 2015. - №2(31). - с. 48-51.





Благодарю за внимание!

olgakrym@inbox.ru

isamarg@inbox.ru

